

LM8261 单路 RRIO、高输出电流和容性负载不限运算放大器

1 特性

- GBWP : 24MHz
- 宽电源电压范围 : 2.7V 至 32V
- 压摆率 : 35V/ μ s
- 电源电流 : 1.35mA
- 无限电容负载驱动能力
- 输出短路电流 : ± 125 mA
- 轨到轨输入和输出 : 3V
- 输入电压噪声 : $12\text{nV}/\sqrt{\text{Hz}}$
- 输入电流噪声 : $1\text{pA}/\sqrt{\text{Hz}}$
- THD+N < 0.00022%

2 应用

- TFT-LCD 平板 V_{COM} 驱动器
- 模数转换器缓冲器
- 高侧或低侧检测
- 耳机放大器

3 说明

LM8261 是一款轨到轨输入和输出运算放大器，可在宽电源电压范围内工作。该器件具有高输出电流驱动能力、超越轨到轨的输入共模电压范围、无限电容负载驱动能力，并提供经过测试和保证的高速和转换率，同时仅需 1.35mA 电源电流。它旨在满足平板 TFT 面板 V_{COM} 驱动器应用的要求，同时也适用于其他需要易于使用且性能优于现有器件的低功耗和中速应用。

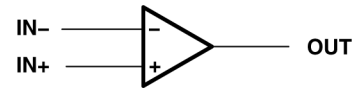
超越轨到轨的输入共模电压范围，结合 90dB 的共模抑制比，使得在许多应用中（例如高侧和低侧检测）无需担心超出范围，且不影响精度。其异常宽泛的工作电源电压范围（2.7V 至 32V）消除了对极端条件下功能的担忧，并为多种应用提供了使用灵活性。此外，大多数器件参数对电源变化不敏感；这一设计改进进一步简化了其使用。

LM8261 采用节省空间的 SOT-23-5 封装。

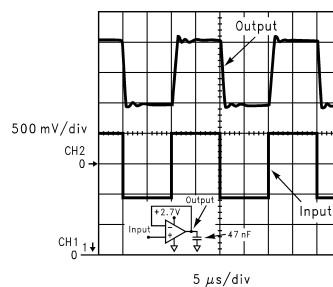
封装信息

器件型号	封装 ⁽¹⁾	封装尺寸 (标称值) ⁽²⁾
LM8261	SOT-23 (5)	2.9mm × 2.8mm

- (1) 如需了解所有可用封装，请参阅数据表末尾的可订购产品附录。
 (2) 封装尺寸 (长 × 宽) 为标称值，并包括引脚 (如适用)。



符号 (每个放大器)



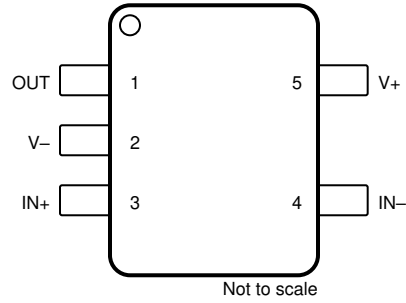
重电容负载下的输出响应



内容

1 特性	1	6.2 低侧电流测量.....	15
2 应用	1	6.3 输出短路电流与消耗问题.....	15
3 说明	1	6.4 其他应用提示.....	16
4 引脚配置和功能	3	6.5 电源相关建议.....	16
5 规格	4	6.6 布局.....	16
5.1 绝对最大额定值.....	4	7 器件和文档支持	18
5.2 ESD 等级.....	4	7.1 文档支持.....	18
5.3 建议运行条件.....	4	7.2 接收文档更新通知.....	18
5.4 热性能信息.....	4	7.3 支持资源.....	18
5.5 电气特性.....	5	7.4 商标.....	18
5.6 典型特性.....	6	7.5 静电放电警告.....	18
5.7 新旧芯片比较.....	14	7.6 术语表.....	18
6 应用和实施	15	8 修订历史记录	18
6.1 驱动容性负载.....	15	9 机械、封装和可订购信息	20

4 引脚配置和功能



**图 4-1.5 引脚 SOT-23
DBV 封装
(顶视图)**

表 4-1. 引脚功能

引脚		类型 ⁽¹⁾	说明
编号	名称		
1	输出	O	输出
2	V-	I	负电源
3	IN+	I	同相输入
4	IN-	I	反相输入
5	V+	I	正电源

(1) I = 输入, O = 输出

5 规格

5.1 绝对最大额定值

在工作环境温度范围内测得（除非另有说明）⁽¹⁾

		最小值	最大值	单位
电源电压, $V_S = (V+) - (V-)$		0	33	V
信号输入引脚	共模电压 ⁽³⁾	$(V-) - 0.5$	$(V+) + 0.5$	V
	差分电压 ⁽⁴⁾		±10	V
	电流 ⁽³⁾		±10	mA
输出短路 ⁽²⁾		持续		
结温, T_J			150	°C
贮存温度, T_{stg}		-65	150	°C

- 如果在超出绝对最大额定值下列出的额定值的情况下运行器件, 则会对器件造成永久性损坏。这些只是基于工艺和设计限制条件的应力等级, 该器件并未设计为在建议运行条件中指定的条件之外运行。如果长时间暴露于建议运行条件之外的任何条件（包括绝对最大额定条件下）, 则可能影响器件的可靠性和性能。
- 接地短路, 每个封装对应一个放大器。延长的短路电流, 特别是在较高的电源电压下, 会导致过热并最终导致毁坏。
- 输入引脚被二极管钳制至电源轨。对于摆幅超过电源轨 0.5V 以上的输入信号, 其电流必须限制在 10mA 或者更低。
- 输入引脚通过背对背二极管进行连接, 以实现输入保护。如果差分输入电压可能超过 0.5V, 则将输入电流限制在 10mA 或更低。

5.2 ESD 等级

		值	单位
$V_{(ESD)}$ 静电放电	人体放电模型 (HBM), 符合 ANSI/ESDA/JEDEC JS-001 标准 ⁽¹⁾	±2000	V
	充电器件模型 (CDM), 符合 ANSI/ESDA/JEDEC JS-002 标准 ⁽²⁾	±1500	

- JEDEC 文档 JEP155 指出: 500V HBM 可通过标准 ESD 控制流程实现安全生产。
- JEDEC 文档 JEP157 指出: 250V CDM 能够在标准 ESD 控制流程下安全生产。

5.3 建议运行条件

		最小值	最大值	单位
电源电压 ($V^+ - V^-$)		2.7	32	V
温度范围 ⁽²⁾		-40	+85	°C

5.4 热性能信息

热指标 ^{(1) (2)}		DBV	单位
		(5 引脚)	
$R_{\theta JA}$	结至环境热阻	185.4	°C/W

- 有关新旧热指标的更多信息, 请参阅 IC 封装热指标应用报告 SPRA953。
- 最大功率损耗是 $T_{J(max)}$ 、 $R_{\theta JA}$ 和 T_A 的函数。任何环境温度下允许的最大功率耗散为 $P_D = (T_{J(max)} - T_A) / R_{\theta JA}$ 。所有数字均适用于直接焊接到 PC 板的封装。

5.5 电气特性

除非另有说明，否则在 $T_A = 25^\circ\text{C}$ 、 $R_L = 10\text{k}\Omega$ 连接至 $V_S / 2$ 、 $V_{CM} = V_S / 2$ 且 $V_{OUT} = V_S / 2$ 条件下，适用于 $V_S = (V+) - (V-) = 2.7\text{V}$ 至 32V ($\pm 1.35\text{V}$ 至 $\pm 16\text{V}$)。(1)

参数		测试条件		最小值	典型值 ⁽²⁾	最大值 ⁽³⁾	单位
V_{OS}	输入失调电压	$V_{CM} = V^-$			± 0.7	± 7	mV
			$-40^\circ\text{C} \leq T_A \leq +125^\circ\text{C}$			± 9	
$TC V_{OS}$	输入失调电压平均漂移	$V_{CM} = V^-$	$-40^\circ\text{C} \leq T_A \leq +125^\circ\text{C}$		± 2		$\mu\text{V}/^\circ\text{C}$
I_B	输入偏置电流				± 0.4	± 2	μA
			$-40^\circ\text{C} \leq T_A \leq +125^\circ\text{C}$			± 2.8	
I_{OS}	输入失调电流				30	275	nA
V_{CM}	输入共模电压范围			V^-		V^+	V
CMRR	共模抑制比	$V^- < V_{CM} < (V+) - 2\text{V}$	$-40^\circ\text{C} \leq T_A \leq +125^\circ\text{C}$	80	100		dB
PSRR	电源抑制比	$V_{CM} = V^-$ ， $V_S = 5\text{V}$ 至 32V	$-40^\circ\text{C} \leq T_A \leq +125^\circ\text{C}$		± 3.5	± 22	$\mu\text{V}/\text{V}$
A_{OL}	开环电压增益	$V_S = 32\text{V}$ ， $V_{CM} = V_S / 2$ ， $(V^-) + 1\text{V} < V_O < (V+) - 1\text{V}$	$-40^\circ\text{C} \leq T_A \leq +125^\circ\text{C}$		85		dB
	相对于电源轨的电压输出摆幅	正负电源轨余量	$V_S = 32\text{V}$ ， $R_L = 10\text{k}\Omega$		15.94		V
			$V_S = 32\text{V}$ ， $R_L = 2\text{k}\Omega$		15.8		
			$V_S = 32\text{V}$ ， $R_L = 10\text{k}\Omega$		-15.94		V
			$V_S = 32\text{V}$ ， $R_L = 2\text{k}\Omega$		-15.8		
I_{SC}	输出短路电流				125	± 62	mA
I_S	电源电流	$V_{CM} = V^-$ ， $I_O = 0\text{A}$			1.30	1.93	mA
			$-40^\circ\text{C} \leq T_A \leq +125^\circ\text{C}$				
SR	压摆率	$V_S = 32\text{V}$ ， $V_{STEP} = 10\text{V}$ ， $G = +1$ ， $C_L = 20\text{pF}$			35		$\text{V}/\mu\text{s}$
GBW	增益带宽积				24		MHz
Φ_{im}	相位裕度	$G = +1$ ， $R_L = 10\text{k}\Omega$ ， $C_L = 20\text{pF}$			50		$^\circ$
e_n	输入电压噪声密度	$f = 1\text{kHz}$			12		$\text{nV}/\sqrt{\text{Hz}}$
i_n	输入电流噪声密度	$f = 1\text{kHz}$			1		$\text{pA}/\sqrt{\text{Hz}}$
t_s	趋稳时间	$T_O 0.1\%$ ， $V_S = 32\text{V}$ ， $V_{STEP} = 10\text{V}$ ， $G = +1$ ， $C_L = 50\text{pF}$			430		ns
THD+N	总谐波失真 + 噪声	$V_S = 32\text{V}$ ， $V_O = 3V_{RMS}$ ， $G = 1$ ， $f = 1\text{kHz}$ ， $R_L = 10\text{k}\Omega$			113		dB

(1) 电气表值仅适用于所示温度下的工厂测试条件。

(2) 典型值表示最可能的参数标准。

(3) 所有限值均根据测试或统计分析保证。

5.6 典型特性

在 $T_A = 25^\circ\text{C}$ 时, $V_S = \pm 16\text{V}$, $V_{CM} = V_S/2$ (除非另有说明)

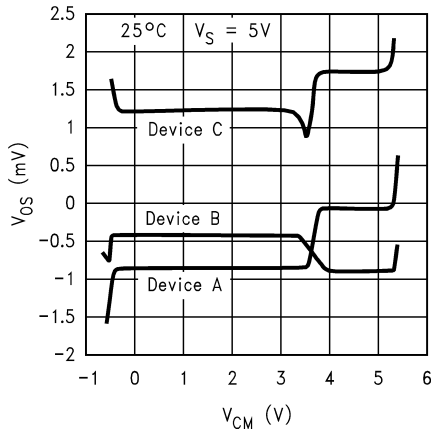


图 5-1. 三个代表性单元 V_{OS} 与 V_{CM} 间的关系 (旧裸片)

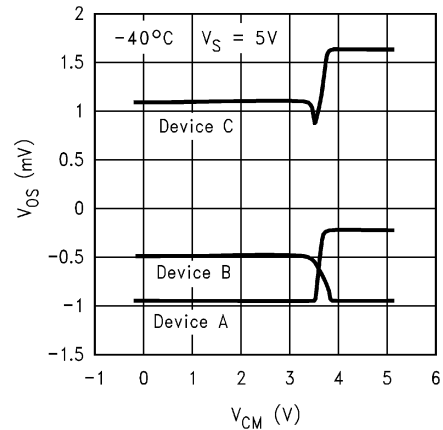


图 5-2. 三个代表性单元 V_{OS} 与 V_{CM} 间的关系 (旧裸片)

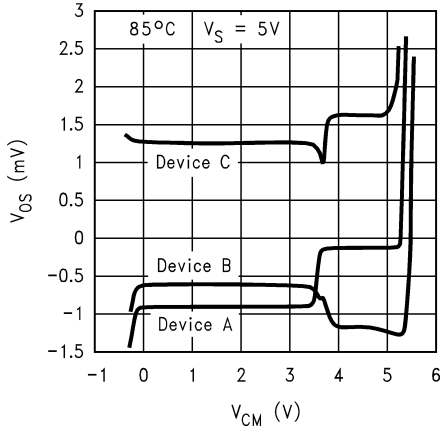


图 5-3. 三个代表性单元 V_{OS} 与 V_{CM} 间的关系 (旧裸片)

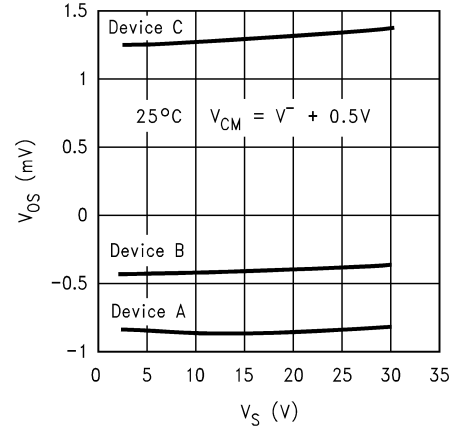


图 5-4. 三个代表性单元 V_{OS} 与 V_S 间的关系 (旧裸片)

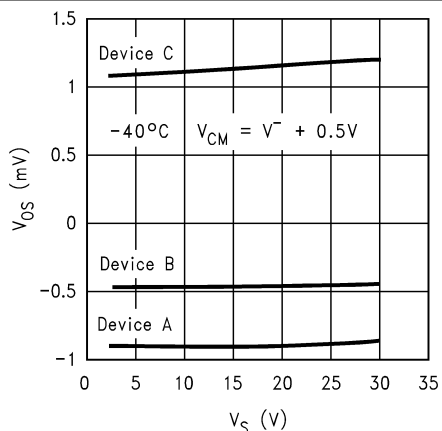


图 5-5. 三个代表性单元 V_{OS} 与 V_S 间的关系 (旧裸片)

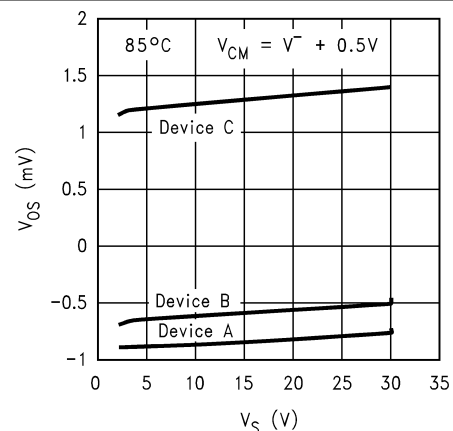


图 5-6. 三个代表性单元 V_{OS} 与 V_S 间的关系 (旧裸片)

5.6 典型特性 (续)

在 $T_A = 25^\circ\text{C}$ 时, $V_S = \pm 16\text{V}$, $V_{CM} = V_S/2$ (除非另有说明)

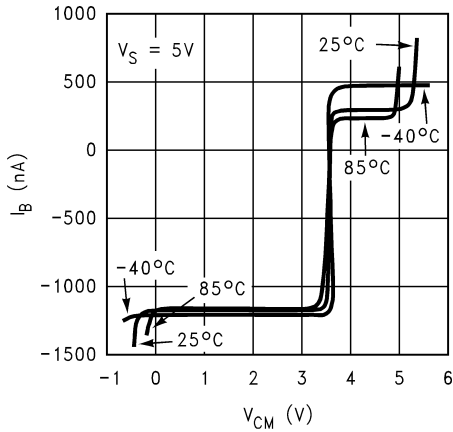


图 5-7. I_B 与 V_{CM} 间的关系 (旧芯片)

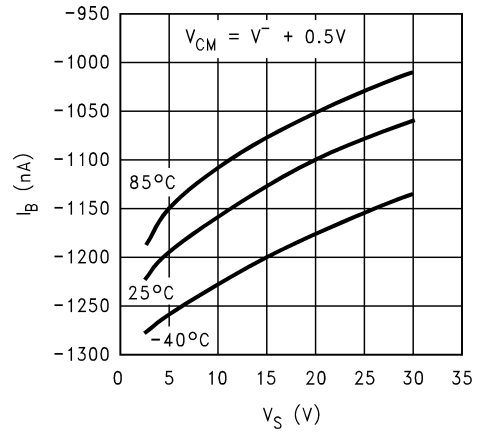


图 5-8. I_B 与 V_S 间的关系 (旧裸片)

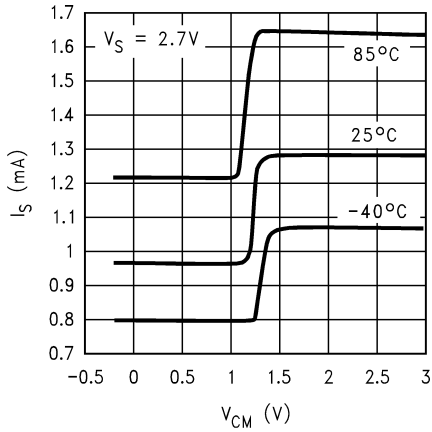


图 5-9. I_S 与 V_{CM} 间的关系 (旧裸片)

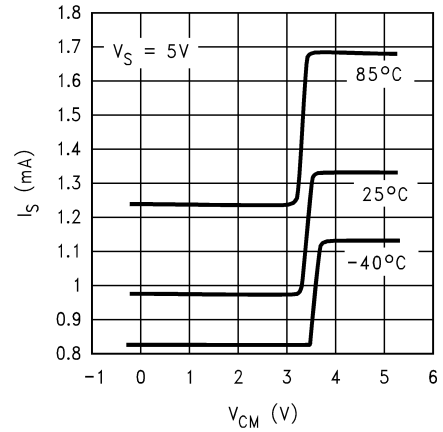


图 5-10. I_S 与 V_{CM} 间的关系 (旧裸片)

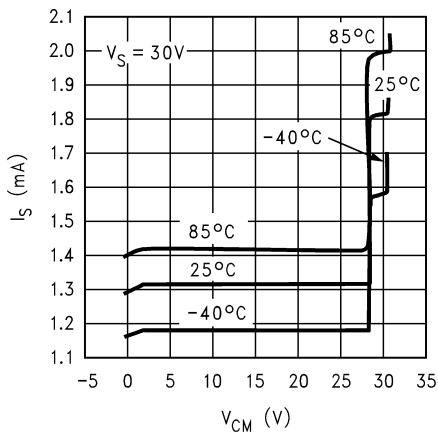


图 5-11. I_S 与 V_{CM} 间的关系 (旧裸片)

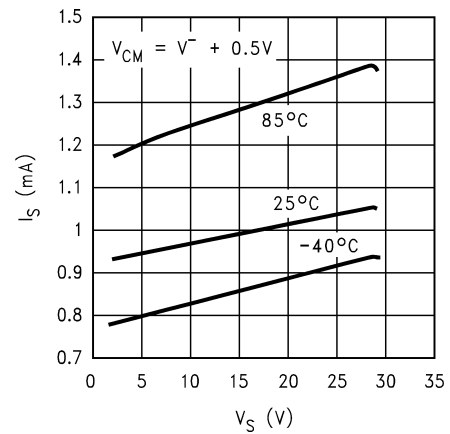


图 5-12. I_S 与 V_S (PNP 侧) 间的关系 (旧裸片)

5.6 典型特性 (续)

在 $T_A = 25^\circ\text{C}$ 时, $V_S = \pm 16\text{V}$, $V_{CM} = V_S/2$ (除非另有说明)

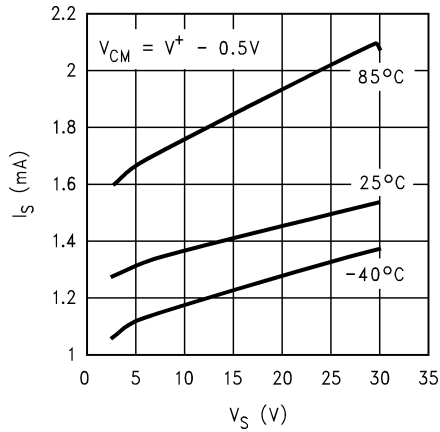


图 5-13. I_S 与 V_S (NPN 侧) 间的关系 (旧裸片)

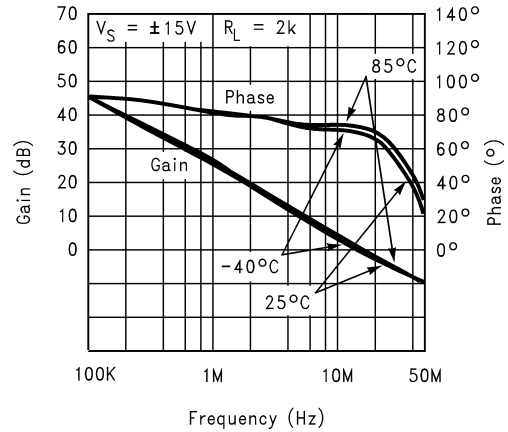


图 5-14. 增益/相位与频率间的关系 (旧裸片)

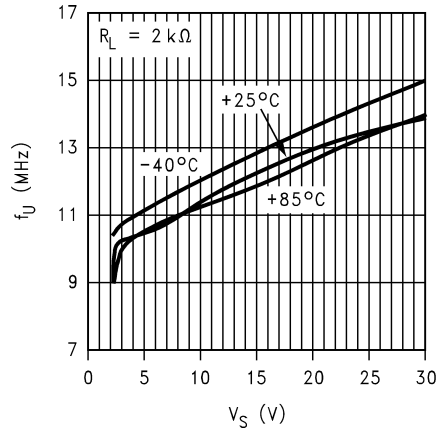


图 5-15. 单位增益频率与 V_S 间的关系 (旧裸片)

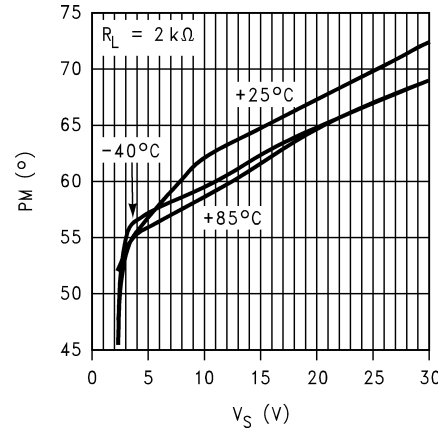


图 5-16. 相位裕度与 V_S 间的关系 (旧裸片)

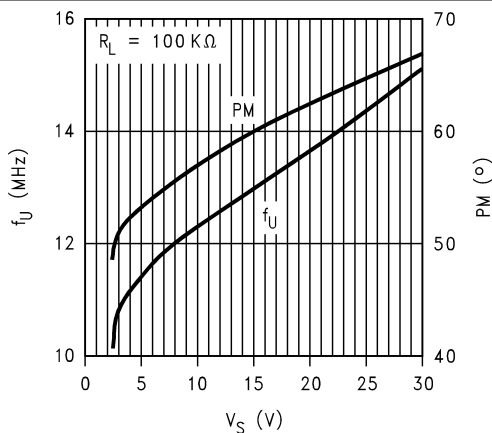


图 5-17. 单位增益频率和相位裕度与 V_S 间的关系 (旧裸片)

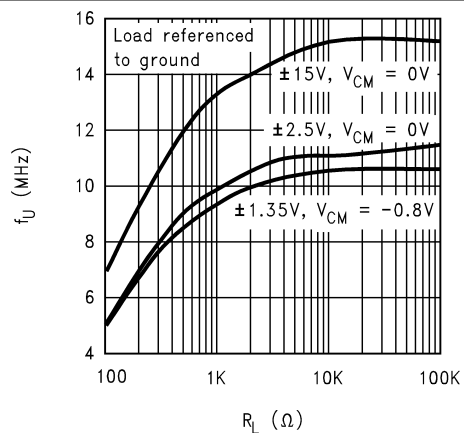


图 5-18. 单位增益频率与负载间的关系 (旧裸片)

5.6 典型特性 (续)

在 $T_A = 25^\circ\text{C}$ 时, $V_S = \pm 16\text{V}$, $V_{CM} = V_S/2$ (除非另有说明)

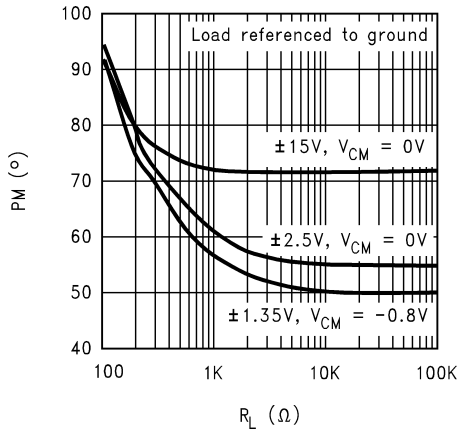


图 5-19. 相位裕度与负载间的关系 (旧裸片)

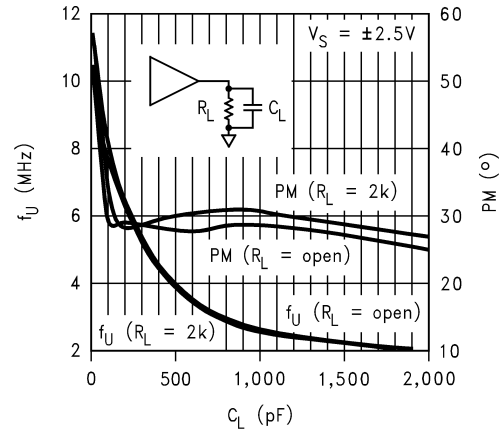


图 5-20. 单位增益频率和相位裕度与 C_L 间的关系 (旧裸片)

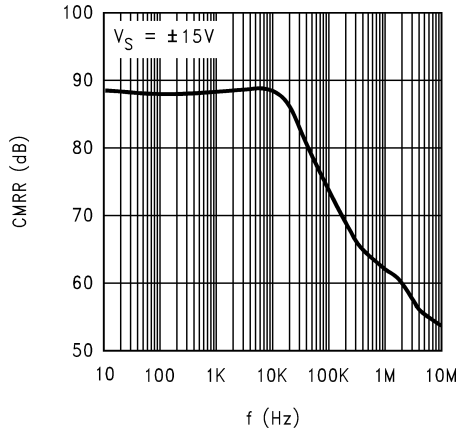


图 5-21. CMRR 与频率间的关系 (旧裸片)

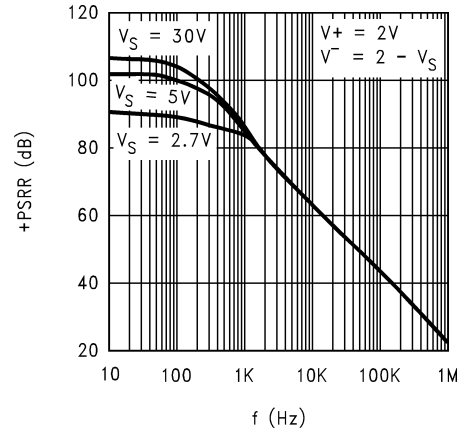


图 5-22. +PSRR 与频率间的关系 (旧裸片)

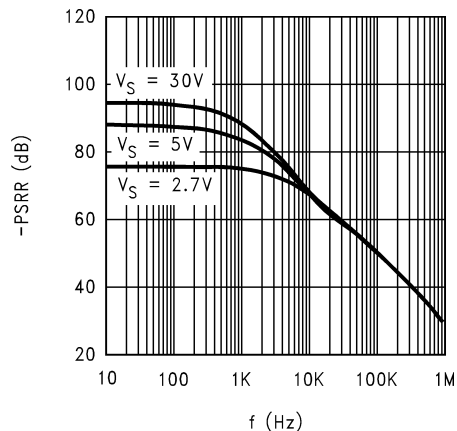


图 5-23. ΔV PSRR 与频率间的关系 (旧裸片)

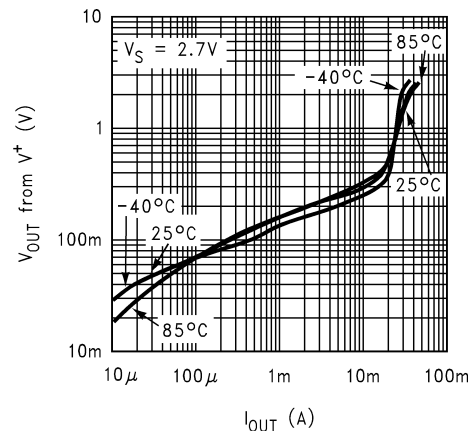


图 5-24. 输出电压与输出拉电流间的关系 (旧裸片)

5.6 典型特性 (续)

在 $T_A = 25^\circ\text{C}$ 时, $V_S = \pm 16\text{V}$, $V_{CM} = V_S/2$ (除非另有说明)

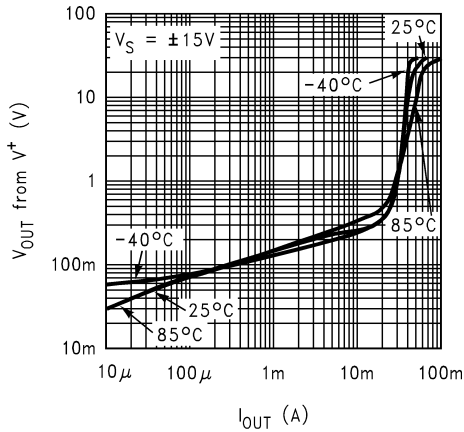


图 5-25. 输出电压与输出拉电流间的关系 (旧裸片)

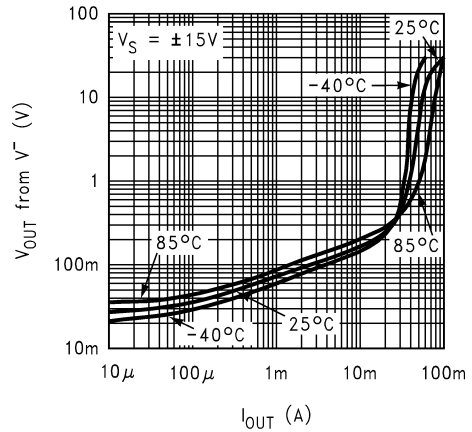


图 5-26. 输出电压与输出灌电流间的关系 (旧裸片)

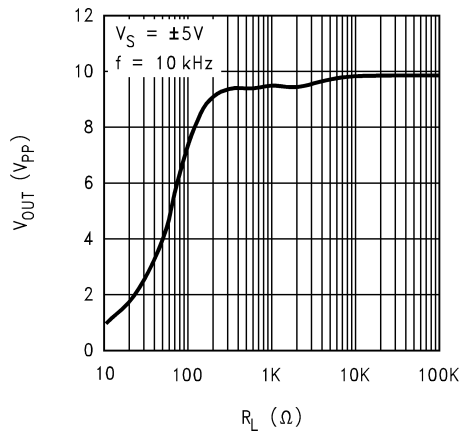


图 5-27. 最大输出摆幅与负载间的关系 (旧裸片)

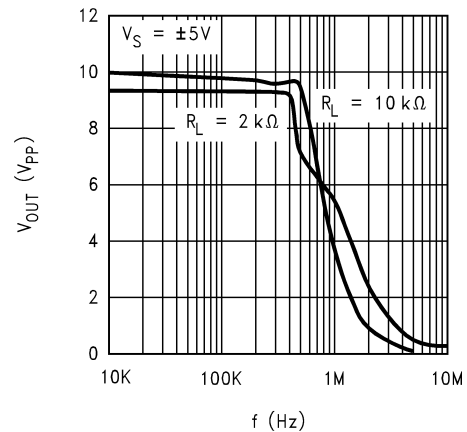


图 5-28. 最大输出摆幅与频率间的关系 (旧裸片)

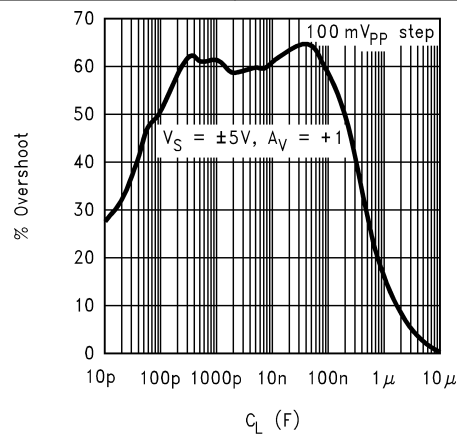


图 5-29. 过冲百分比与电容负载间的关系 (旧裸片)

5.6 典型特性 (续)

在 $T_A = 25^\circ\text{C}$ 时, $V_S = \pm 16\text{V}$, $V_{CM} = V_S/2$ (除非另有说明)

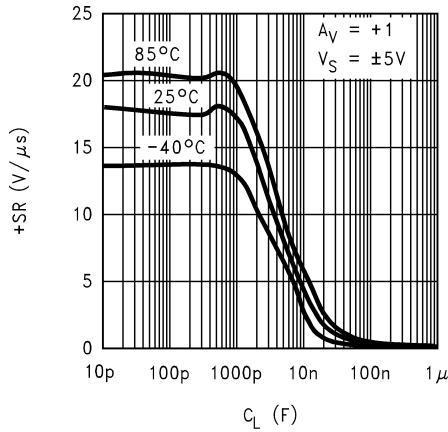


图 5-30. +SR 与电容负载间的关系 (旧裸片)

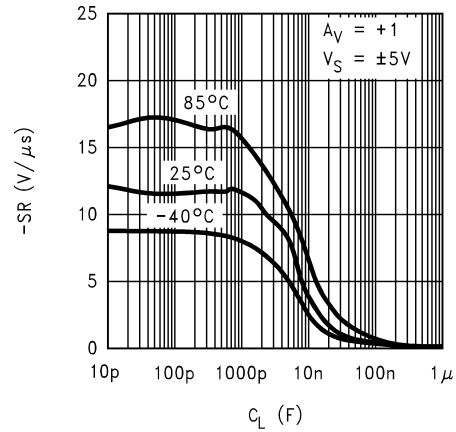


图 5-31. -SR 与电容负载间的关系 (旧裸片)

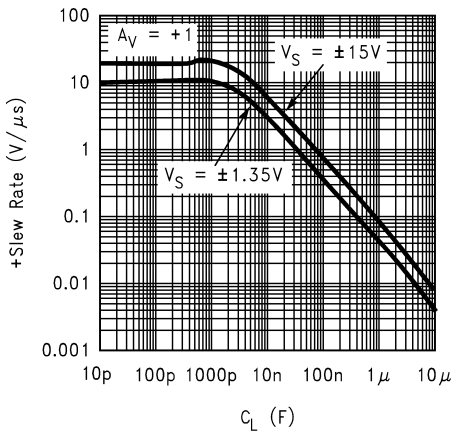


图 5-32. +SR 与电容负载间的关系 (旧裸片)

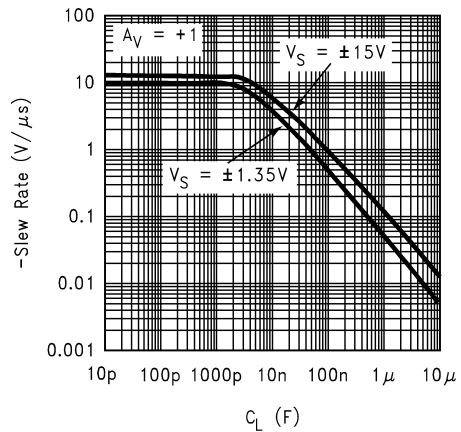


图 5-33. -SR 与电容负载间的关系 (旧裸片)

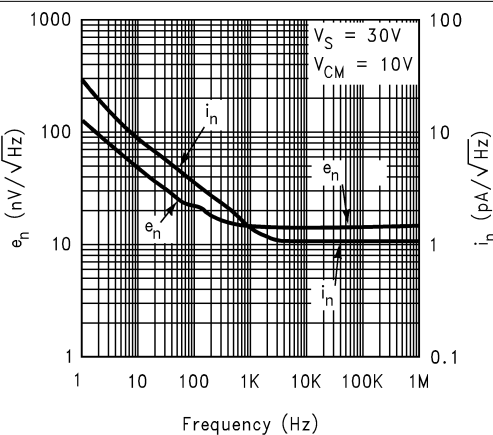


图 5-34. 输入噪声电压/电流与频率间的关系、旧芯片

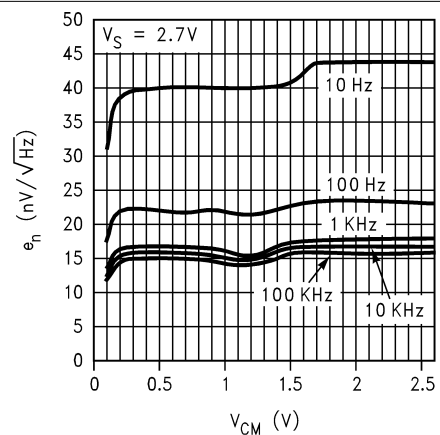
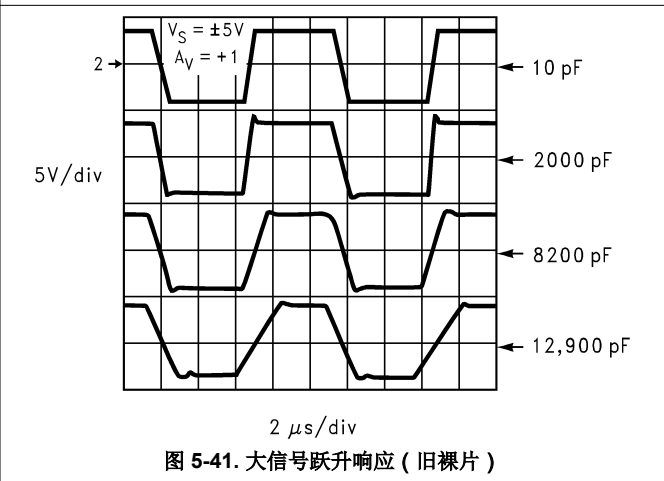
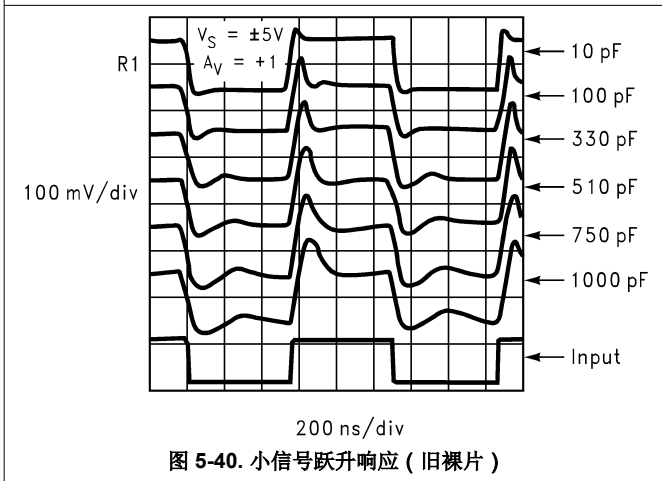
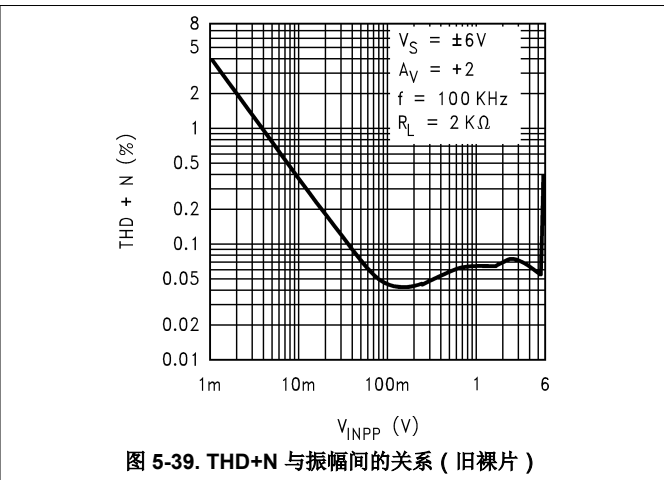
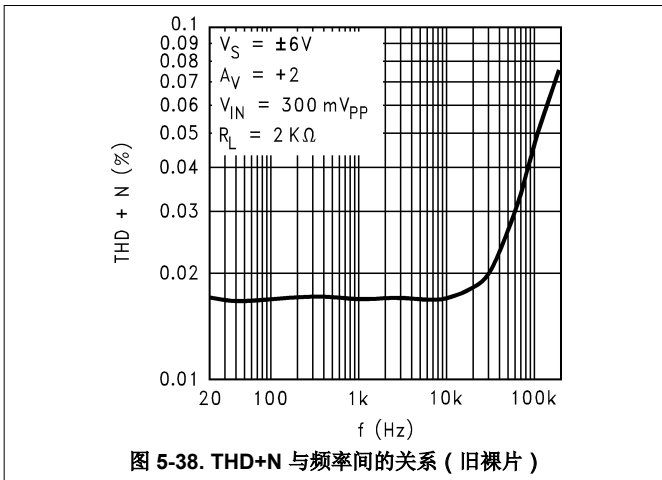
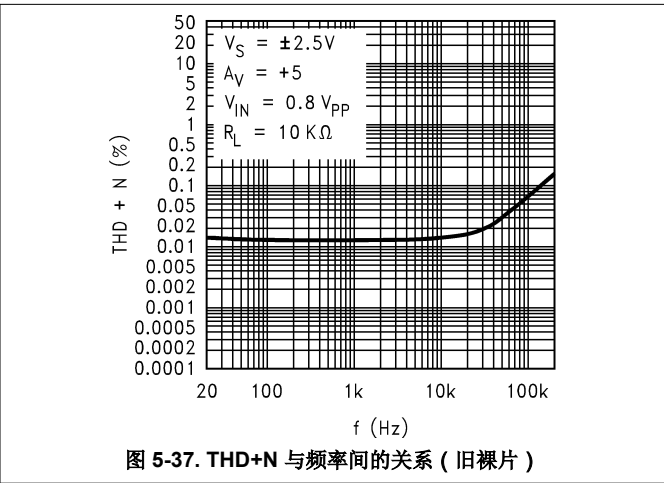
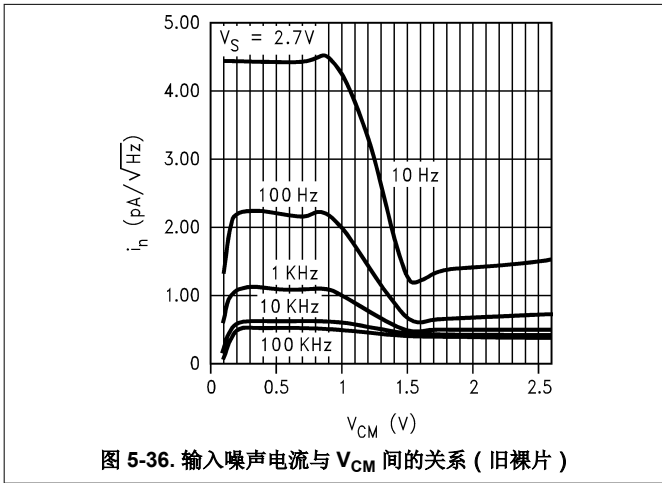


图 5-35. 输入噪声电压与 V_{CM} 间的关系 (旧裸片)

5.6 典型特性 (续)

在 $T_A = 25^\circ\text{C}$ 时, $V_S = \pm 16\text{V}$, $V_{CM} = V_S/2$ (除非另有说明)



5.6 典型特性 (续)

在 $T_A = 25^\circ\text{C}$ 时, $V_S = \pm 16\text{V}$, $V_{CM} = V_S/2$ (除非另有说明)

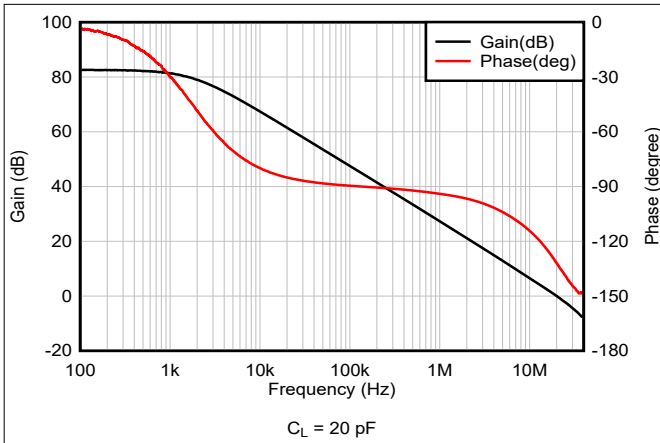


图 5-42. 开环增益和相位与频率间的关系 (新裸片)

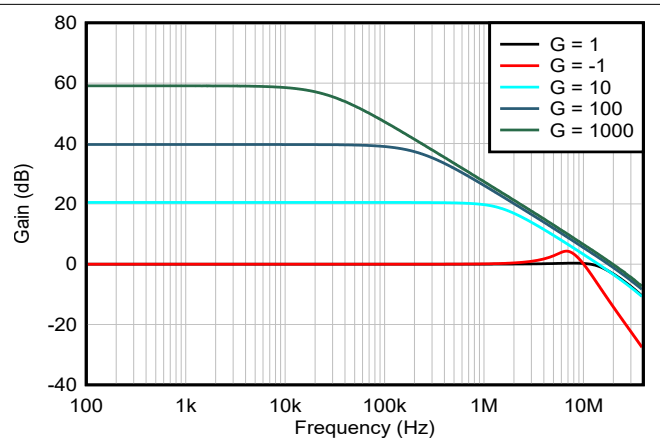


图 5-43. 闭环增益与频率间的关系 (新裸片)

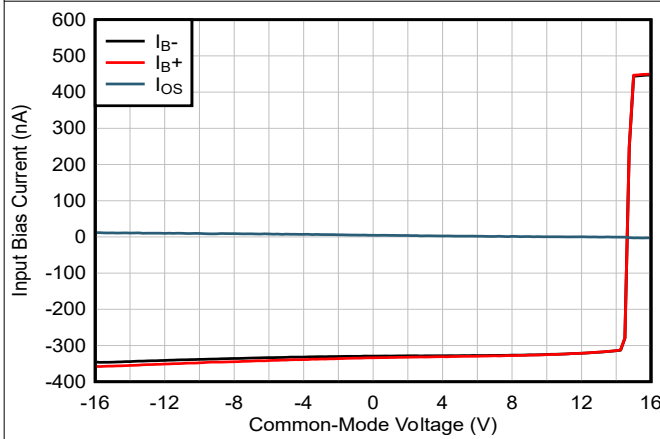


图 5-44. 输入偏置电流和失调电流与共模电压间的关系 (旧裸片)

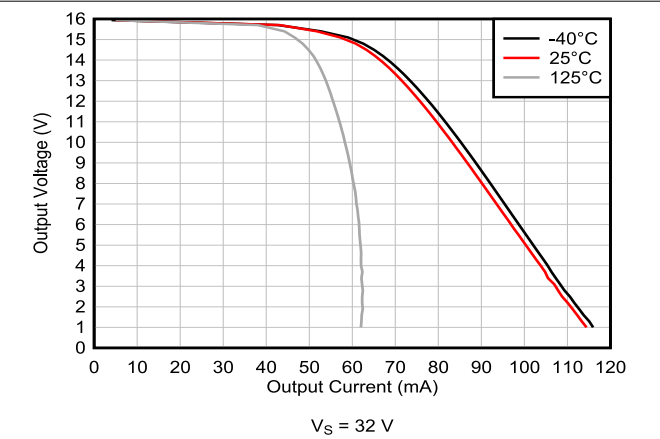


图 5-45. 输出电压摆幅与输出电流 (拉电流) 间的关系 (新裸片)

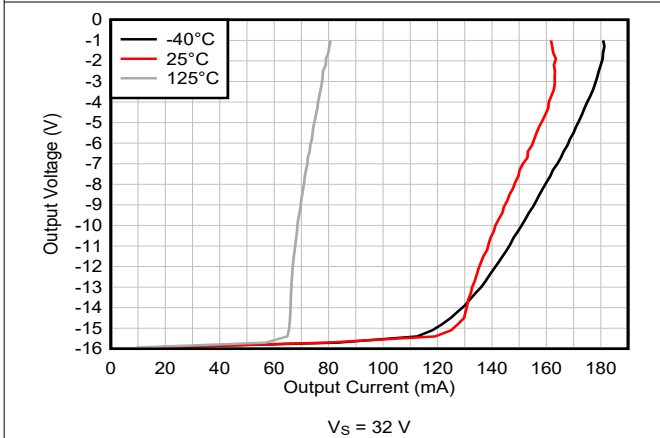


图 5-46. 输出电压摆幅与输出电流 (灌电流) 间的关系 (新裸片)

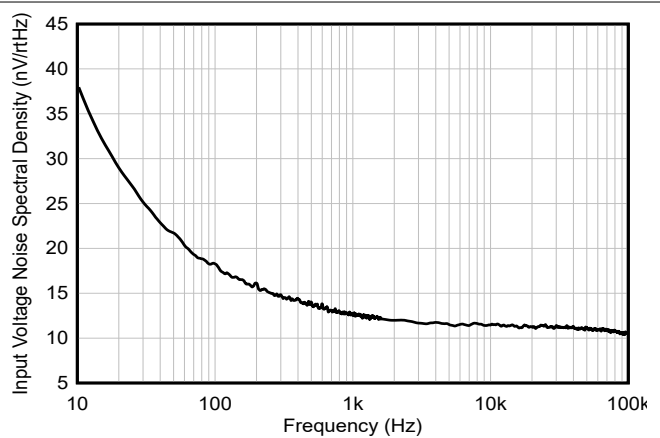


图 5-47. 输入电压噪声频谱密度与频率间的关系 (新裸片)

5.6 典型特性 (续)

在 $T_A = 25^\circ\text{C}$ 时, $V_S = \pm 16\text{V}$, $V_{CM} = V_S/2$ (除非另有说明)

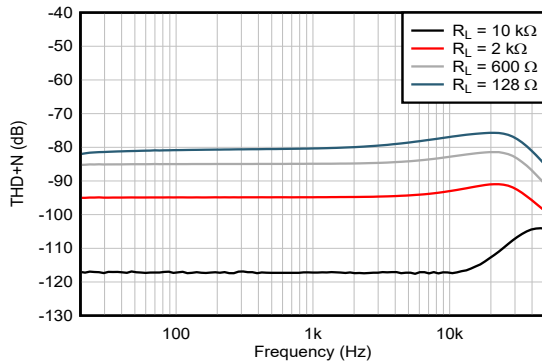


图 5-48. THD+N 比与频率间的关系 (新裸片)

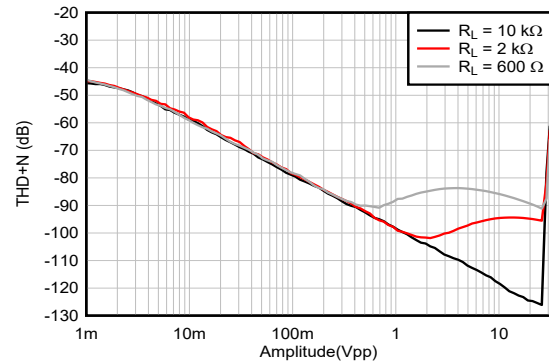


图 5-49. THD+N 与输出振幅间的关系 (新裸片)

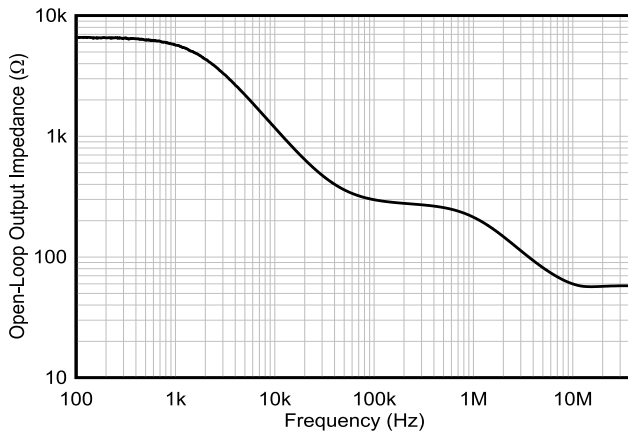


图 5-50. 开环输出阻抗与频率间的关系 (新裸片)

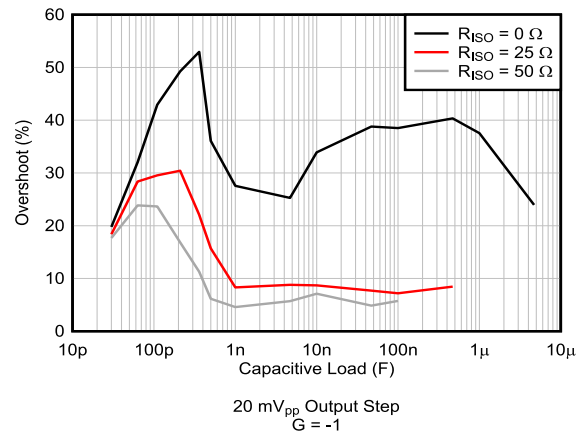


图 5-51. 小信号过冲与电容负载间的关系 (新裸片)

5.7 新旧芯片比较

截至本数据表修订版 J 发布时, 德州仪器 (TI) 已将 LM8261 的裸片制造转移到了一个现代制造厂。本文档中将两个不同的芯片称为“旧”(前一个制造基地)和“新”芯片。芯片原点可以与发货信息中的“芯片来源”(CSO)参数分开。旧芯片 CSO 为“GF6”, 而新裸片 CSO 为“RFB”。旧芯片信息包含在发货信息中。旧芯片 CSO 为“GF6”, 而新裸片 CSO 为“RFB”。本数据表中保留了旧芯片信息, 用于进行比较, 但所有新制造工艺都转移到了新芯片上。

6 应用和实例

备注

以下应用部分中的信息不属于 TI 器件规格的范围，TI 不担保其准确性和完整性。TI 的客户应负责确定器件是否适用于其应用。客户应验证并测试其设计，以确保系统功能。

6.1 驱动容性负载

LM8261 专门设计用于驱动无限电容负载而不发生振荡。此外，该器件的输出电流处理能力使其即使在驱动大电容负载时也能保持良好的压摆特性。这些特性的结合旨在满足诸如 TFT 平板缓冲器、模数转换器输入放大器等应用的需求。

然而，与大多数运算放大器一样，在运算放大器和电容负载之间添加一个串联隔离电阻可以改善建立时间和过冲性能。

6.2 低侧电流测量

图 6-1 展示了低侧电流检测应用中配置的 LM8261。有关该电路的理论、计算、仿真和测量数据的完整分析，请参阅 TI 精密设计。

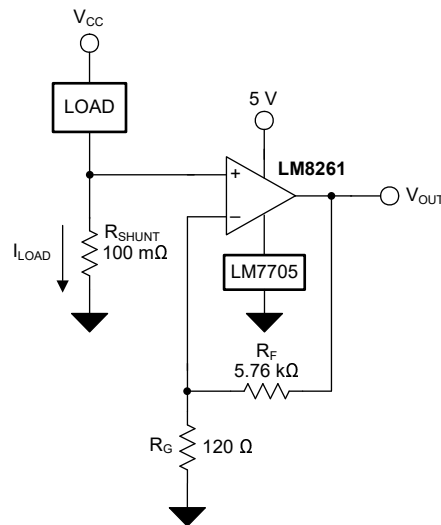


图 6-1. 低侧电流检测应用中的 LM8261

6.3 输出短路电流与消耗问题

LM8261 输出级旨在提供最大输出电流能力。尽管在所有工作电压下都能容忍输出对地或对任一电源的瞬时短路，但持续时间较长的短路情况可能导致结温升至超过器件的绝对最大额定值，尤其是在较高电源电压条件下。

当运算放大器连接负载时，器件的功耗包括由流入器件的电源电流引起的静态功耗，以及由负载电流引起的功耗。负载部分的功耗本身可包括一个平均值（由于直流负载电流引起）和一个交流分量。如果存在输出电压失调，或者输出交流平均电流非零，或者运算放大器工作在单电源应用中且输出维持在线性范围内的某点，则会有直流负载电流流过。因此：

$$P_{\text{TOTAL}} = P_Q + P_{\text{DC}} + P_{\text{AC}} \quad (1)$$

运算放大器静态功率耗散：

$$P_Q = I_S \cdot V_S \quad (2)$$

直流负载功耗：

$$P_{DC} = I_O \cdot (V_R - V_O) \quad (3)$$

交流负载功耗：

$$P_{AC} = (\text{outlined in table below}) \quad (4)$$

其中

- I_S 是电源电流
- V_S 是总电源电压 (V_+ - V_-)
- I_O 是平均负载电流
- V_O 是平均输出电压
- V_R 对于拉电流为 V_+ ，对于灌电流为 V_-

表 6-1 显示了运算放大器在标准正弦波、三角波和方波波形下功率耗散的负载功率的最大交流分量：

表 6-1. 标准波形下输出级功率耗散的归一化交流功率

$P_{AC} (W/\Omega V^2)$		
正弦	三角波	方形
50.7×10^{-3}	46.9×10^{-3}	62.5×10^{-3}

表格条目已归一化至 V_S^2 / R_L 。要计算功率耗散的交流负载电流分量，只需将输出波形对应的表格条目乘以因子 V_S^2 / R_L 即可。例如，在 $\pm 15\text{ V}$ 电源、 600Ω 负载以及三角波条件下，输出级的功率耗散计算如下：

$$P_{AC} = (46.9 \times 10^{-3}) \cdot [30^2/600] = 70.4 \text{ mW} \quad (5)$$

6.4 其他应用提示

在大多数应用中，必须使用电源去耦合。与大多数相对高速/高输出电流的运算放大器一样，最佳结果是通过每条电源线使用两个电容器进行去耦来实现的：一个放置在非常靠近电源引脚位置的小值陶瓷电容器（约 $0.01\mu\text{F}$ ），再加上一个大值钽电容或铝电容（ $> 4.7\mu\text{F}$ ）。如有必要，这个大电容器可以被多个器件共用。小陶瓷电容器在高频下维持低电源阻抗，而大电容器则充当电荷“桶”，用于应对运算放大器输出端的快速负载电流尖峰。这些电容器的组合将提供电源去耦合，并有助于在任何负载下保持运算放大器无振荡。

6.5 电源相关建议

LM8261 可以使用单电源或双电源运行。该器件的输入共模范围 (CMVR) 覆盖了整个电源电压范围，从而提供了最大的灵活性。电源应使用低电感电容器（通常为陶瓷电容器）进行去耦合，这些电容器应接地，且距离器件引脚不得超过 0.5 英寸。建议使用接地平面。与大多数高速器件一样，建议将器件敏感引脚（如输入引脚）附近的接地平面去除。

6.6 布局

6.6.1 布局指南

通常，良好的高频率布局会使电源和接地走线远离反向输入和输出引脚。这些节点对地的寄生电容会导致出现频率响应峰值，并可能引起电路振荡。一般高速信号路径布局建议包括：

- 对于较长的走线，建议使用连续接地平面进行信号布线，并采用匹配阻抗的走线。但是，需要在电容敏感的输入和输出器件引脚周围，将接地平面和电源层都镂空。将信号发送到电阻器后，寄生电容会更多地导致带宽限制问题，而不是稳定性问题。
- 在器件电源引脚的接地平面上使用完好的高频去耦电容器 ($0.1\mu\text{F}$)。为获得良好的高频去耦效果，请考虑使用 X2Y 电源去耦电容器，以提供比标准电容器高得多的自谐振频率。
- 在任何可感知距离上使用差分信号路由时，请使用具有匹配阻抗引线的微带布局技术。

- 输入求和点对寄生电容非常敏感。以极小的到电阻器器件引脚侧的布线长度将任何 R_f 和 R_g 元件连接到求和点。如果需要连接到源或接地端，则这些元件的另一侧可能具有更大的布线长度。

7 器件和文档支持

7.1 文档支持

7.1.1 相关文档

如要查看相关文件，请参阅以下内容：

- 德州仪器 (TI)，[IC 封装热指标应用报告](#)

7.2 接收文档更新通知

要接收文档更新通知，请导航至 [ti.com](#) 上的器件产品文件夹。点击 [通知](#) 进行注册，即可每周接收产品信息更改摘要。有关更改的详细信息，请查看任何已修订文档中包含的修订历史记录。

7.3 支持资源

[TI E2E™ 中文支持论坛](#) 是工程师的重要参考资料，可直接从专家处获得快速、经过验证的解答和设计帮助。搜索现有解答或提出自己的问题，获得所需的快速设计帮助。

链接的内容由各个贡献者“按原样”提供。这些内容并不构成 TI 技术规范，并且不一定反映 TI 的观点；请参阅 TI 的[使用条款](#)。

7.4 商标

TI E2E™ is a trademark of Texas Instruments.

所有商标均为其各自所有者的财产。

7.5 静电放电警告



静电放电 (ESD) 会损坏这个集成电路。德州仪器 (TI) 建议通过适当的预防措施处理所有集成电路。如果不遵守正确的处理和安装程序，可能会损坏集成电路。

ESD 的损坏小至导致微小的性能降级，大至整个器件故障。精密的集成电路可能更容易受到损坏，这是因为非常细微的参数更改都可能会导致器件与其发布的规格不相符。

7.6 术语表

TI 术语表

本术语表列出并解释了术语、首字母缩略词和定义。

8 修订历史记录

注：以前版本的页码可能与当前版本的页码不同

Changes from Revision J (January 2015) to Revision K (February 2026)	Page
• 移除了 (除非另有说明，否则条件为 $V_S = 5V$ ， $TA = 25^\circ C$ ，典型值)	1
• 移除了 $\pm 5\%$ 趋稳时间 400ns (500pF，100mV _{PP} 跃升)	1
• 将 GBWP 从 21MHz 更新为了 24MHz.....	1
• 将宽电源电压范围的下限从 2.5V 更新为了 2.7V，上限从 30V 更新为了 32V.....	1
• 将转换率从 12V/ μs 更新为了 35V/ μs	1
• 将电源电流从 0.97mA 更新为 1.35mA.....	1
• 将输出短路电流从 53mA/-75mA 更新为了 $\pm 125mA$	1
• 将输入电压噪声从 15nV/ \sqrt{Hz} 更新为了 12nV/ \sqrt{Hz}	1
• 将 THD+N 从 <0.05% 更新为了 <0.00022%.....	1
• 更新了整个文档中的表格、图和交叉参考的编号格式.....	1
• 已根据新芯片更新了说明。.....	1
• 已根据新芯片规格更新表格和脚注.....	4
• 将 CDM 的静电放电 (ESD) 值从 $\pm 200V$ 更新为 $\pm 1500V$	4
• 更新了脚注.....	4

• 将电源电压最小值从 2.5V 更新为了 2.7V，最大值从 30V 更新为了 32V.....	4
• 将结至环境热阻从 325°C/W 更新为了 185.4°C/W.....	4
• 将电气特性从 ±15V 更改为了 ±16V。.....	5
• 更新了表格说明.....	5
• 将输入偏移电压的测试条件更新为了 $V_{CM} = V^-$	5
• 移除了 $V_{CM} = 14.5V$ 条件下的输入偏置电流测试条件，以及对应的 $-40^\circ C \leq T_A \leq +125^\circ C$ 范围内的值.....	5
• 移除了 $V_{CM} = \pm 14.5V$ 条件下的输入偏置电流测试条件，以及对应的 $-40^\circ C \leq T_A \leq +125^\circ C$ 范围内的值.....	5
• 更新了共模抑制比的测试条件，将 V_{CM} 跃升范围从 $-15V$ 至 $13V$ 修改为 $V^- < V_{CM} < (V^+) - 2V$ ，并将温度范围从 $-65^\circ C \leq T_J \leq +150^\circ C$ 修改为 $-40^\circ C \leq T_A \leq +125^\circ C$	5
• 移除了 V_{CM} 跃升范围为 $14V$ 至 $15V$ 以及 V_{CM} 跃升范围为 $-15V$ 至 $15V$ 时的共模抑制比测试条件及对应数值.....	5
• 更新了电源抑制比的测试条件，将 V^+ 从 $\pm 12V$ 至 $\pm 15V$ 修改为 $V_{CM} = V^-$ 、 $V_S = 5V$ 至 $32V$ ，并将温度范围从 $-65^\circ C \leq T_J \leq +150^\circ C$ 修改为 $-40^\circ C \leq T_A \leq +125^\circ C$	5
• 更新了电源抑制比的典型值，从 100dB 修改为 $\pm 3.5 \mu V/V$ ，并将最大值从 70 dB 修改为 $\pm 22 \mu V/V$	5
• 移除了负电源抑制比.....	5
• 移除了 CMVR 值.....	5
• 更新了 V_{CM} 的最小值 V^- 和最大值 V^+	5
• 将开环电压增益的典型值更新为了 85dB.....	5
• 移除了大信号电压增益.....	5
• 移除了输出高电平摆幅.....	5
• 将 $R_L = 10k\Omega$ 条件下的轨到轨输出电压摆幅从 14.83V 更新为了 15.94V.....	5
• 将 $R_L = 2k\Omega$ 条件下的轨到轨输出电压摆幅从 14.73V 更新为了 15.8V.....	5
• 将 $R_L = 10k\Omega$ 条件下的轨到轨输出电压摆幅从 -14.91V 更新为了 -15.94V.....	5
• 将 $R_L = 2k\Omega$ 条件下的轨到轨输出电压摆幅从 -14.83V 更新为了 -15.8V.....	5
• 将输出短路电流的典型值从 60mA 更新为 125mA，最大值从 40mA 更新为了 $\pm 62mA$	5
• 移除了输出短路电流的所有测试条件.....	5
• 将电源电流最大值从 1.50mA 更新为了 1.93mA，并从 1.90mA 更新为 2.23mA.....	5
• 将转换率从 $15V/\mu s$ 更新为了 $35V/\mu s$	5
• 移除了单位增益频率.....	5
• 移除了增益带宽的最大值.....	5
• 将相位裕度的典型值从 58° 更新为了 50°	5
• 将输入电压噪声密度的典型值从 $15nV/\sqrt{Hz}$ 更新为了 $12nV/\sqrt{Hz}$	5
• 移除了全功率带宽.....	5
• 将趋稳时间的典型值从 320ns 更新为了 430ns.....	5
• 将总计谐波失真 + 噪声从 0.01% 更新为了 113dB.....	5
• 更新了“开环增益和相位与频率间的关系”图.....	6
• 更新了“闭环增益与频率间的关系”图.....	6
• 更新了“输入偏置电流和失调电流与共模电压间的关系”图.....	6
• 更新了“输出电压摆幅与输出电流（拉电流）间的关系”图.....	6
• 更新了“输出电压摆幅与输出电流（灌电流）间的关系”图.....	6
• 更新了“输入电压噪声频谱密度与频率间的关系”图.....	6
• 更新了“THD+N 比与频率间的关系”图.....	6
• 更新了“THD+N 与输出幅度间的关系”图.....	6
• 更新了开环输出阻抗与频率间的关系图.....	6
• 更新了“小信号过冲与容性负载间的关系”图.....	6
• 添加了新旧芯片比较.....	14
• 移除了方框图和工作原理说明.....	15
• 移除了估算输出电压摆幅部分.....	15
• 移除了 TFT 应用部分.....	15

• 已添加 <i>低侧电流测量</i> 部分.....	15
• 移除了 <i>LM8261 优势</i> 部分.....	16
• 已根据新芯片更新指南.....	16
• 移除了 <i>布局示例</i> 部分.....	16

Changes from Revision I (March 2013) to Revision J (January 2015) Page

• 添加、更新或修订了以下各个部分： <i>引脚配置和功能、规范、详细说明、应用和实现、电源相关建议、布局、器件和文档支持</i> 以及 <i>机械、封装和可订购信息</i> 部分.....	1
• 在 节 5 中将 -1.0V 更改为了 -0.8V.....	4

Changes from Revision H (March 2013) to Revision I (March 2013) Page

• 将美国国家通用数据表的版面布局更改为 TI 格式.....	1
---------------------------------	---

9 机械、封装和可订购信息

以下页面包含机械、封装和可订购信息。这些信息是指定器件可用的最新数据。数据如有变更，恕不另行通知，且不会对此文档进行修订。有关此数据表的浏览器版本，请查阅左侧的导航栏。

PACKAGING INFORMATION

Orderable part number	Status (1)	Material type (2)	Package Pins	Package qty Carrier	RoHS (3)	Lead finish/ Ball material (4)	MSL rating/ Peak reflow (5)	Op temp (°C)	Part marking (6)
LM8261M5/NOPB	Obsolete	Production	SOT-23 (DBV) 5	-	-	Call TI	Call TI	-40 to 85	A45A
LM8261M5X/NOPB	Active	Production	SOT-23 (DBV) 5	3000 LARGE T&R	Yes	SN	Level-1-260C-UNLIM	-40 to 85	A45A
LM8261M5X/NOPB.B	Active	Production	SOT-23 (DBV) 5	3000 LARGE T&R	Yes	SN	Level-1-260C-UNLIM	-40 to 85	A45A

(1) **Status:** For more details on status, see our [product life cycle](#).

(2) **Material type:** When designated, preproduction parts are prototypes/experimental devices, and are not yet approved or released for full production. Testing and final process, including without limitation quality assurance, reliability performance testing, and/or process qualification, may not yet be complete, and this item is subject to further changes or possible discontinuation. If available for ordering, purchases will be subject to an additional waiver at checkout, and are intended for early internal evaluation purposes only. These items are sold without warranties of any kind.

(3) **RoHS values:** Yes, No, RoHS Exempt. See the [TI RoHS Statement](#) for additional information and value definition.

(4) **Lead finish/Ball material:** Parts may have multiple material finish options. Finish options are separated by a vertical ruled line. Lead finish/Ball material values may wrap to two lines if the finish value exceeds the maximum column width.

(5) **MSL rating/Peak reflow:** The moisture sensitivity level ratings and peak solder (reflow) temperatures. In the event that a part has multiple moisture sensitivity ratings, only the lowest level per JEDEC standards is shown. Refer to the shipping label for the actual reflow temperature that will be used to mount the part to the printed circuit board.

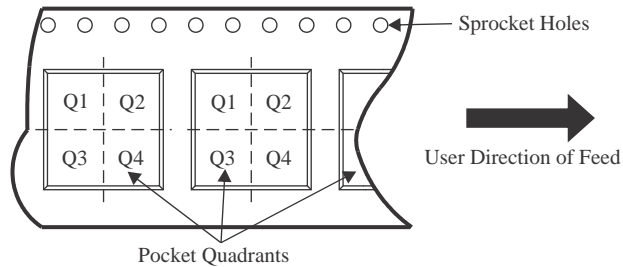
(6) **Part marking:** There may be an additional marking, which relates to the logo, the lot trace code information, or the environmental category of the part.

Multiple part markings will be inside parentheses. Only one part marking contained in parentheses and separated by a "-" will appear on a part. If a line is indented then it is a continuation of the previous line and the two combined represent the entire part marking for that device.

Important Information and Disclaimer: The information provided on this page represents TI's knowledge and belief as of the date that it is provided. TI bases its knowledge and belief on information provided by third parties, and makes no representation or warranty as to the accuracy of such information. Efforts are underway to better integrate information from third parties. TI has taken and continues to take reasonable steps to provide representative and accurate information but may not have conducted destructive testing or chemical analysis on incoming materials and chemicals. TI and TI suppliers consider certain information to be proprietary, and thus CAS numbers and other limited information may not be available for release.

In no event shall TI's liability arising out of such information exceed the total purchase price of the TI part(s) at issue in this document sold by TI to Customer on an annual basis.

TAPE AND REEL INFORMATION

QUADRANT ASSIGNMENTS FOR PIN 1 ORIENTATION IN TAPE


*All dimensions are nominal

Device	Package Type	Package Drawing	Pins	SPQ	Reel Diameter (mm)	Reel Width W1 (mm)	A0 (mm)	B0 (mm)	K0 (mm)	P1 (mm)	W (mm)	Pin1 Quadrant
LM8261M5X/NOPB	SOT-23	DBV	5	3000	180.0	8.4	3.2	3.2	1.4	4.0	8.0	Q3
LM8261M5X/NOPB	SOT-23	DBV	5	3000	178.0	8.4	3.2	3.2	1.4	4.0	8.0	Q3

TAPE AND REEL BOX DIMENSIONS


*All dimensions are nominal

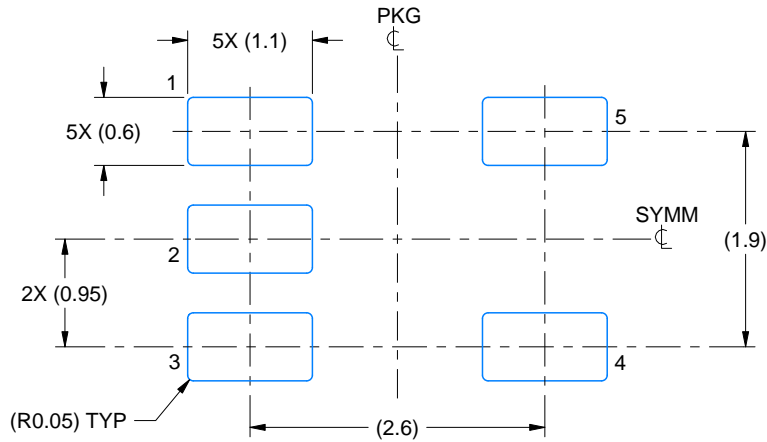
Device	Package Type	Package Drawing	Pins	SPQ	Length (mm)	Width (mm)	Height (mm)
LM8261M5X/NOPB	SOT-23	DBV	5	3000	210.0	185.0	35.0
LM8261M5X/NOPB	SOT-23	DBV	5	3000	208.0	191.0	35.0

EXAMPLE BOARD LAYOUT

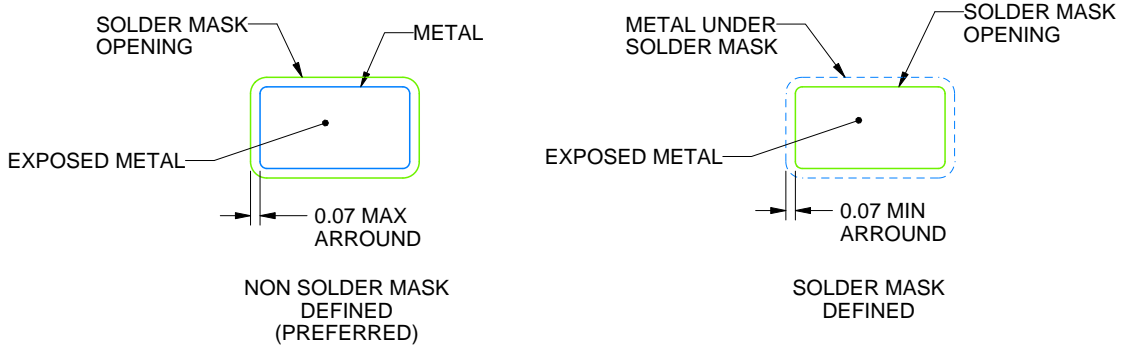
DBV0005A

SOT-23 - 1.45 mm max height

SMALL OUTLINE TRANSISTOR



LAND PATTERN EXAMPLE
EXPOSED METAL SHOWN
SCALE:15X



SOLDER MASK DETAILS

4214839/K 08/2024

NOTES: (continued)

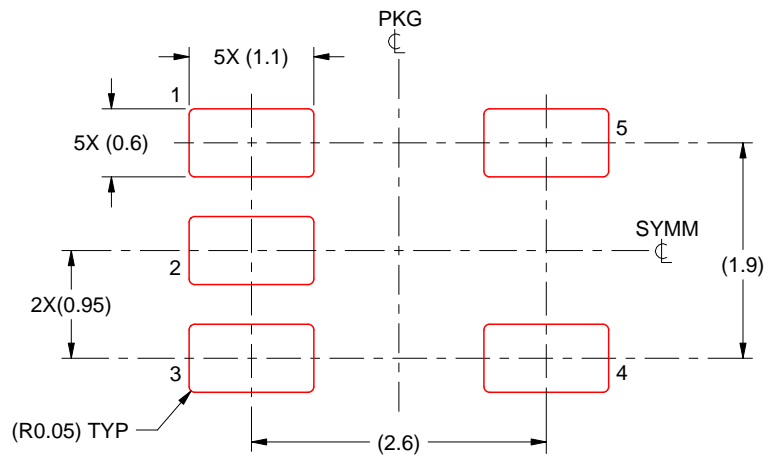
- 6. Publication IPC-7351 may have alternate designs.
- 7. Solder mask tolerances between and around signal pads can vary based on board fabrication site.

EXAMPLE STENCIL DESIGN

DBV0005A

SOT-23 - 1.45 mm max height

SMALL OUTLINE TRANSISTOR



SOLDER PASTE EXAMPLE
BASED ON 0.125 mm THICK STENCIL
SCALE:15X

4214839/K 08/2024

NOTES: (continued)

8. Laser cutting apertures with trapezoidal walls and rounded corners may offer better paste release. IPC-7525 may have alternate design recommendations.
9. Board assembly site may have different recommendations for stencil design.

重要通知和免责声明

TI“按原样”提供技术和可靠性数据（包括数据表）、设计资源（包括参考设计）、应用或其他设计建议、网络工具、安全信息和其他资源，不保证没有瑕疵且不做任何明示或暗示的担保，包括但不限于对适销性、与某特定用途的适用性或不侵犯任何第三方知识产权的暗示担保。

这些资源可供使用 TI 产品进行设计的熟练开发人员使用。您将自行承担以下全部责任：(1) 针对您的应用选择合适的 TI 产品，(2) 设计、验证并测试您的应用，(3) 确保您的应用满足相应标准以及任何其他安全、安保法规或其他要求。

这些资源如有变更，恕不另行通知。TI 授权您仅可将这些资源用于研发本资源所述的 TI 产品的相关应用。严禁以其他方式对这些资源进行复制或展示。您无权使用任何其他 TI 知识产权或任何第三方知识产权。对于因您对这些资源的使用而对 TI 及其代表造成的任何索赔、损害、成本、损失和债务，您将全额赔偿，TI 对此概不负责。

TI 提供的产品受 [TI 销售条款](#)、[TI 通用质量指南](#) 或 [ti.com](#) 上其他适用条款或 TI 产品随附的其他适用条款的约束。TI 提供这些资源并不会扩展或以其他方式更改 TI 针对 TI 产品发布的适用的担保或担保免责声明。除非德州仪器 (TI) 明确将某产品指定为定制产品或客户特定产品，否则其产品均为按确定价格收入目录的标准通用器件。

TI 反对并拒绝您可能提出的任何其他或不同的条款。

版权所有 © 2026，德州仪器 (TI) 公司

最后更新日期：2025 年 10 月